

ДИНАМИКА МЕХАНИЗМА С УПРУГОЙ СВЯЗЬЮ ТОЛКАТЕЛЯ НИЖНЕЙ НИТИ ШВЕЙНОЙ МАШИНЫ

З.Ш. ТОЖИБОЕВ, А.Д. ДЖУРАЕВ, М.А. МАНСУРОВА, Д.МАНСУРОВА

(Ташкентский институт текстильной и легкой промышленности,
Худжандский филиал Таджикского технического университета имени академика М.С. Осими)

В предлагаемом плоском четырехзвенном механизме толкателя нижней нити применена упругая связь, которая смягчает пиковое значение нагрузки и обеспечивает необходимые выстои толкателя в технологическом процессе образования цепных стежков с требуемыми параметрами [1]. Важным является и обоснование параметров упругой связи.

Расчетную схему привода швейной машины двухниточного цепного стежка изобразили в виде вала привода (кроме механизма толкателя нижней нити). При этом вся система приводится к одной массе, так как все передачи являются жесткими. В механизме толкателя нижней нити кривошип учитывается отдельной массой, а коромысло с толкателем учитывается третьей массой.

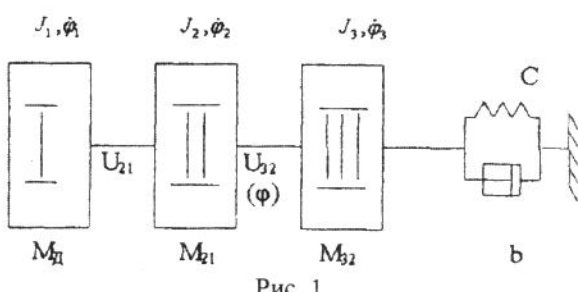
На рис. 1 представлена расчетная схема машинного агрегата с механизмом толкателя нижней нити двухниточного цепного стежка, учитывающая переменность передаточного отношения второй и третьей масс. Массой шатуна пренебрегали ввиду малой величины последнего относительно других масс системы. Третья масса (толкатель нижней нити) в определенных положениях контактирует с упругой связью; она жестко связана с корпусом швейной машины. При этом упругая связь выполнена из двух одинаковых частей, расположенных по обеим сторонам толкателя нижней нити [2].

Основным источником механической энергии швейной машины является электродвигатель трехфазный асинхронный, тип Х71А2ШУ4; мощность $N = 0,4$ кВт, напряжение $U_B = 220/380$, частота вращения вала $n = 2900$ об/мин, частота тока 50 Гц.

Уравнения движения системы имеют вид:

$$\frac{\omega_0 - \dot{\varphi}_1}{\omega_0} = \frac{S_k M_g}{2M_k} + \frac{M_g}{2M_k \omega_c},$$

$$J_1 \ddot{\varphi}_1 = M_d - U_{21} M_{21} - M_{np},$$



$$J_2 \ddot{\phi}_2 = M_{21} - U_{32}(\phi_3)M_{32},$$

$$J_3 \ddot{\phi}_3 = M_{32} - C\phi_3 - b\dot{\phi}_3.$$

Здесь

$$U_{32}(\phi_3) = \frac{\dot{\phi}_3}{\dot{\phi}_2}, \quad \dot{\phi}_2 = U_{21}\dot{\phi}_1,$$

$$\ddot{\phi}_3 = \ddot{\phi}_2 U_{32}(\phi_3) + \dot{\phi}_3^2 \dot{U}_{32}(\phi_3),$$

где J_1 – приведенные к главному валу моменты инерции ротора двигателя и других масс машин (кроме механизма толкателя нижней нити); J_2, J_3 – моменты инерции кривошипа и толкателя (коромысла) нижней нити; ω_0, ω_c – соответственно угловая скорость идеального холостого хода и угловая частота сети; S_k – критическое скольжение двигателя; M_k – критическое значение момента двигателя; ϕ_1, ϕ_2, ϕ_3 – соответственно угловые перемещения масс системы; M_{21}, M_{32} – взаимодействующие моменты между массами; U_2 – передаточное отношение между первой и второй массами; $U_{32}(\phi_3)$ – передаточное отношение между второй и третьей массами; $M_{\text{пр}}$ – приведенный к главному валу момент от сопротивлений, действующих на элементы швейной машины; C, b – коэффициенты жесткости диссипации упругой связи при угловых перемещениях толкателя.

Полученная система дифференциальных уравнений (1) является существенно нелинейной и ее решение осуществляли численным методом.

Основными задачами динамических исследований механизма толкателя нижней нити являются определение закона движения толкателей и изучение движения при различных динамических параметрах, влияние сопротивления от упругой связи на режимы движения системы, а также определение лучших параметров механизма толкателя, обеспечивающих колебания толкателя в пределах $30\ldots32^\circ$.

Исследования проводили при следующих значениях параметров: $N_D = 0,4 \text{ кВт}$; $n = 2900 \text{ об/мин}$; $U_{21} = 1,0$; $\omega_c = 314 \text{ рад/с}$; $\omega_0 = 106,6 \text{ рад/с}$; $f_c = 50 \text{ Гц}$; $J_1 = 0,123 \cdot 10^{-3} \text{ кг}\cdot\text{м}^2$; $J_2 = 0,83 \cdot 10^{-5} \text{ кг}\cdot\text{м}^2$; $J_3 = 0,561 \cdot 10^{-4} \text{ кг}\cdot\text{м}^2$; $C = 0,535 \cdot 10^2 \text{ Н}\cdot\text{м}/\text{рад}$; $b = 0,462 \text{ Н}\cdot\text{м}\cdot\text{с}/\text{рад}$.

Переменное передаточное отношение U_{32} между второй и третьей массами определяли с учетом $\dot{\phi}_2$ и $\dot{\phi}_3$ в соответствии с [2].

На величину выстоя толкателя нижней нити значительно влияют упругодиссипативные параметры упругой связи.

Для улучшения образования цепного стежка требуется значительное уменьшение $\delta\phi_3$, и при этом зона действия $\delta\phi_2$ не должна превышать $25\ldots30^\circ$.

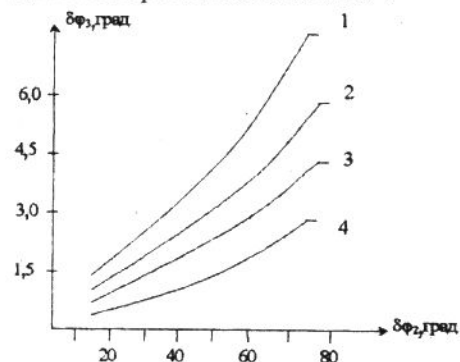


Рис. 2

На рис. 2 показаны графические зависимости изменения угла $\delta\phi_3$ в функции зоны (угла $\delta\phi_2$) действия упругой связи на толкатель нижней нити (кривая 1 – $C = 0,21 \cdot 10^2 \text{ Н}\cdot\text{м}/\text{рад}$; 2 – $C = 0,535 \cdot 10^2 \text{ Н}\cdot\text{м}/\text{рад}$; 3 – $C = 0,72 \cdot 10^2 \text{ Н}\cdot\text{м}/\text{рад}$; 4 – $C = 0,83 \cdot 10^2 \text{ Н}\cdot\text{м}/\text{рад}$).

Анализ результатов исследований показывает, что увеличение угла $\delta\phi_3$ при возрастании зоны действия $\delta\phi_2$ имеет приблизительно линейный характер. При этом с увеличением крутильной (угловой) жесткости упругой связи $\delta\phi_3$ уменьшается.

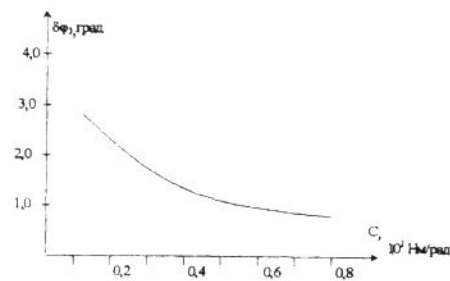


Рис. 3

На рис. 3 изображены графические зависимости угла сдвига $\delta\phi_3$ толкателя нижней нити от коэффициента угловой жесткости упругой связи. Так, при $\delta\phi_3 = 28^\circ$, увеличение

ние С от $0,21 \cdot 10^2$ до $0,83 \cdot 10^2$ Н·м/рад приводит к уменьшению угла сдвига толкателя с 2,8 до $1,25^\circ$. Следует отметить, что при дальнейшем увеличении коэффициента С угловой жесткости упругой связи можно достичь минимального значения угла сдвига $\delta\varphi_2$ толкателя нижней нити (близкого к нулю).

Однако, при этом возникают ударные взаимодействия толкателя нижней нити с упругой связью, что может привести к нарушению необходимого закона движения толкателя. Это, в свою очередь, приведет к нарушению технологического процесса образования двухниточного цепного стежка.

Исследования показали, что при упругой связи с небольшим значением коэффициента диссипации высокочастотные составляющие колебания толкателя нижней нити фактически не затухают. Кроме того, при упругой связи с незначительными диссипативными свойствами могут не затухать собственные колебания упругой связи (после очередного взаимодействия с толкателем). При этом во время следующего взаимодействия упругой связи с толкателем могут иметь место дополнительные колебания толкателя, что отрицательно оказывается на образовании цепного стежка.

Рекомендуемыми параметрами системы являются: $J_1 = (0, 15...0,2) \cdot 10^{-3}$ кг·м²; $J_2 = (1,0...1,2) \cdot 10^{-5}$ кг·м²; $J_3 = (0,5...0,6) \cdot 10^{-4}$ кг·м²; $C = (0,5...0,65) \cdot 10^2$ Н·м/рад; $b = (0,4...0,6)$ Н·м·с/рад; $\delta\varphi_2 = 25...26^\circ$ – при них обеспечивается необходимый процесс образования двухниточного цепного стежка в рассматриваемой швейной машине.

ВЫВОДЫ

Получена математическая модель машинного агрегата с механизмом толкателя нижней нити швейной машины двухниточного цепного стежка и графические зависимости изменения угла действия и угловой жесткости упругой связи. Приведены рекомендуемые параметры системы.

ЛИТЕРАТУРА

1. Патент Республики Узбекистан №2808. Швейная машина двухниточного цепного стежка / Джураев А. и др. – Опубл. 1995. Бюл. №3.
2. Джураев А., Абдуллаев А, Таджибаев З., Мансурова М. Динамика механизма толкателя нижней нити с упругой связью швейной машины двухниточного цепного стежка // Тез. докл. Респ. конф.: "Прогресс-2002".

Рекомендована кафедрой технологии ткани, трикотажа и швейных изделий Худжандского филиала ТТУ имени академика М.С. Осими. Поступила 23.06.04.